



УДК 577.113.5:578.828

ДЛИННЫЙ КОНЦЕВОЙ ПОВТОР ЭНДОГЕННОГО РЕТРОВИРУСА ЧЕЛОВЕКА HERV-K В ИНТРОНЕ ГЕНА ZNF91

© 1998 г. П. П. Хиль, Ю. Б. Лебедев, Е. Д. Свердлов[#]

Институт биоорганической химии им. М.М. Шемякина и Ю.А. Овчинникова РАН,
117871, Москва, ГСП-7, ул. Миклухо-Маклая, 16/10

Поступила в редакцию 11.07.97 г. Принята к печати 23.09.97 г.

Произведено высокоразрешающее взаимное картирование экзон-инtronной структуры гена *ZNF91* и длинного концевого повтора (LTR) эндогенного ретровируса человека HERV-K, который, как было показано нами ранее, находится в локусе этого гена, на метрической EcoRI-рестриктной карте 19-й хромосомы человека. Определено направление транскрипции гена *ZNF91* относительно теломер 19-й хромосомы. Показано, что LTR HERV-K находится в 4-м интроне гена *ZNF91*. Обсуждается вовлеченность ретровирусных последовательностей в эволюционный процесс семейства генов *ZNF91*.

Ключевые слова: LTR, HERV-K, ZNF91, картирование генов, 19-я хромосома,

Одной из задач, стоящих перед исследователями биохимической эволюции, является расшифровка функциональных последствий внедрения в геном регуляторных элементов, происходившего в процессе эволюции, в частности в результате ретровирусных инфекций. Возникновение таких регуляторных последовательностей рядом с генами могло оказать значительное влияние на процесс эволюции. Один из этапов исследования такого влияния – определение взаимного положения сравнительно недавно появившихся в геноме регуляторных последовательностей и клеточных генов.

В наших предыдущих работах были картированы 72 полноразмерных LTR, принадлежащих эндогенному ретровирусу человека семейства HERV-K на 19-й хромосоме человека [1, 2]. LTR содержат кластер регуляторных элементов, способных модулировать экспрессию близлежащих генов, в частности *ZNF*. Часть LTR на 19-й хромосоме картирована в локусах известных генов, одним из которых является *ZNF91* [3], представитель большого семейства генов, кодирующих так называемые Zn-фингерные (ZNF) белки. Эти белки содержат специфические домены (Zn-пальцы), способные связывать ионы цинка благодаря взаимодействию с расположеннымными в определен-

ной последовательности остатками цистеинов и гистидинов [4]. Многие представители этого семейства являются регуляторами транскрипции. Геном человека содержит до 700 индивидуальных генов этого семейства [3, 5]. Одной из структурно наиболее изученных групп суперсемейства *ZNF* является подсемейство *ZNF91*. Близкородственные гены, принадлежащие к этому подсемейству, обнаружены у человека и приматов, но отсутствуют у низших обезьян и грызунов [6].

Гены, кодирующие белки подсемейства *ZNF91*, характеризуются выраженными структурными особенностями: содержат протяженный экзон, кодирующий до 35 tandemно расположенных Zn-фингерных доменов, а также два экзона, кодирующих близкородственные последовательности вне Zn-фингерной области. Эти последовательности гомологичны регуляторному KRAB-домену (от Kruppel-associated box [7]) и известны как KRAB-А и KRAB-В. Область, кодирующая KRAB-домен, соединяется с Zn-фингерной областью спейсерной последовательностью, консервативной для подсемейства *ZNF91*-генов. KRAB-домену приписывается функция негативной регуляции транскрипции [8]. Кластер из более чем 40 гомологичных генов и псевдогенов, содержащих KRAB-кодирующие последовательности, в геноме человека располагается на коротком плече 19-й хромосомы в области 19p12–19q13.1 [3]. Гомологичные последовательности найдены и на других хромосомах [3]. Поскольку ZNF-белки являются регуляторами транскрипции, изменения в регуляции их экспрессии могут иметь значительные функциональные следствия для организма, приводя к одновременным изменениям уровней

Сокращения: LTR – длинный концевой повтор, HERV-K – эндогенный ретровирус человека (семейство K), м.п.о. – миллионы пар оснований.

[#] Автор для переписки (тел.: (095) 330-65-29, факс: (095) 330-65-38, e-mail: eds@glasnet.ru или sverd@humgen.siobc.ras.ru).

Олигонуклеотидные праймеры, использованные для получения гибридизационных проб с помощью ПЦР-амплификации

Праймер	Структура (5' → 3')	Положение мишени*	Амплифицируемая последовательность
KRAB-Bfor	ATT GCT CTC TCT AAG CCA GAC C	254–275	Экзон 4, KRAB-B
KRAB-Brev	CTG TGG GTT CAT CCA CCA T	329–347	
5f8for	GTT TAA GTT ATC CTT ACC CAG G	128–149	Экзон 3, KRAB-A
5f8rev	GTT GAC ATT TAG GGA TGT GG	246–...**	
LTRfor	TAT AGA AAG AAG TAG ACA TAG GAG ACT	42–68	LTR HERV-K
LTRrev	AAA GAC ACA GAG ACA AAG TAT AGA	876–899	

* Координаты приведены по последовательности кДНК ZNF91 (GenBank Accession L11672) для пар праймеров KRAB-B и 5f8 и по прототипной последовательности LTR HERV-K (GenBank Accession M12851) для праймеров LTRfor и LTRrev.

** Праймер 5f8rev комплементарен области экзон-инtronной границы: 3'-концевой нуклеотид праймера соответствует координате 246 кДНК ZNF91, а 12 нуклеотидов 5'-конца праймера лежат в области интрана.

транскрипции всех тех генов, в регуляции экспрессии которых участвует данный ZNF-белок.

Настоящая работа посвящена определению ориентации гена ZNF91 относительно теломер 19-й хромосомы и точного взаимного положения LTR HERV-K и гена ZNF91.

Современная физическая карта 19-й хромосомы человека представлена упорядоченным набором контигов космидных клонов с точно определенным положением EcoRI-рестриктных сайтов. Локус гена ZNF91 занимает около 80 т.п.о. и расположен на расстоянии 20.75 м.п.о. от теломеры короткого плеча хромосомы ([9]; наиболее современная версия карты доступна через Интернет по адресу

<http://www-bio.llnl.gov/bbrp/genome/genome.html>.

Данный локус представлен несколькими перекрывающимися космидными клонами, четыре из которых (F7063, F14963, F21946 и R30472) были охарактеризованы нами ранее [1, 2] как LTR-содержащие. Для более точной локализации LTR HERV-K и экзонов ZNF91 использовали ДНК космиды F21946. С этой целью ее подвергали исчерпывающему гидролизу эндонуклеазой EcoRI и последующей гибридизации по Саузерну с соответствующими зондами (таблица, рис. 1, 2).

Фрагменты гена ZNF91, соответствующие экзонам 3 и 4, получали ПЦР-амплификацией с помощью двух пар специфических праймеров (таблица). ПЦР с использованием пары праймеров 5f8for и 5f8rev амплифицирует практически весь 3-й экзон ZNF91, кодирующий KRAB-A-модуль KRAB-домена. С помощью второй пары олигонуклеотидных праймеров, KRAB-Bfor и KRAB-Brev, амплифицируется 4-й экзон ZNF91. Продукты ПЦР-амплификации с ДНК космиды F21946 в качестве матрицы были использованы для приготовления радиоактивных гибридизационных зондов. Результаты гибридизации позволили лока-

лизовать область гена, кодирующую KRAB-домен, в EcoRI-рестриктном фрагменте длиной 1.15 т.п.о. (рис. 2).

Пятый экзон гена ZNF91 кодирует спейсерную область и непосредственно цинковые пальцы и имеет длину около 3 т.п.о. Он содержит tandemные повторы последовательности длиной 84 п.о. со степенью идентичности между повторами от 70 до 97%. Для его локализации на метрической карте 19-й хромосомы в качестве гибридизационного зонда был использован фрагмент кДНК длиной около 580 п.о., полученный в результате прямой селекции кДНК путем двух раундов гиб-



Рис. 1. Блок-схема первичной структуры кДНК гена ZNF91 человека. Горизонтальным прямоугольником изображена кодирующая часть кДНК. Вертикальными отрезками внутри этого прямоугольника разделены сегменты, отвечающие функциональным доменам белка. Фрагменты прямоугольника с буквами А и В и надписью KRAB ниже прямоугольника соответствуют KRAB-A- и KRAB-B-модулям KRAB-домена. Фрагмент прямоугольника с надписью "спейсер" соответствует спейсерному участку этого белка. Штриховкой обозначена область, кодирующая ДНК-связывающие Zn-фингерные домены [3]. Вертикальными стрелками в нижней части рисунка обозначены экзон-инtronные границы, а цифрами – номера экзонов. Горизонтальными стрелками над схемой показано положение праймеров, использованных в работе, по отношению к кДНК гена ZNF91. Затемненными полосками над структурой кДНК с обозначениями ZNF и KRAB (с вертикальной стрелкой вниз) показано положение соответствующих зондов, использованных при проведении саузерн-блот-гибридизации. Рисунок выполнен без соблюдения масштаба.

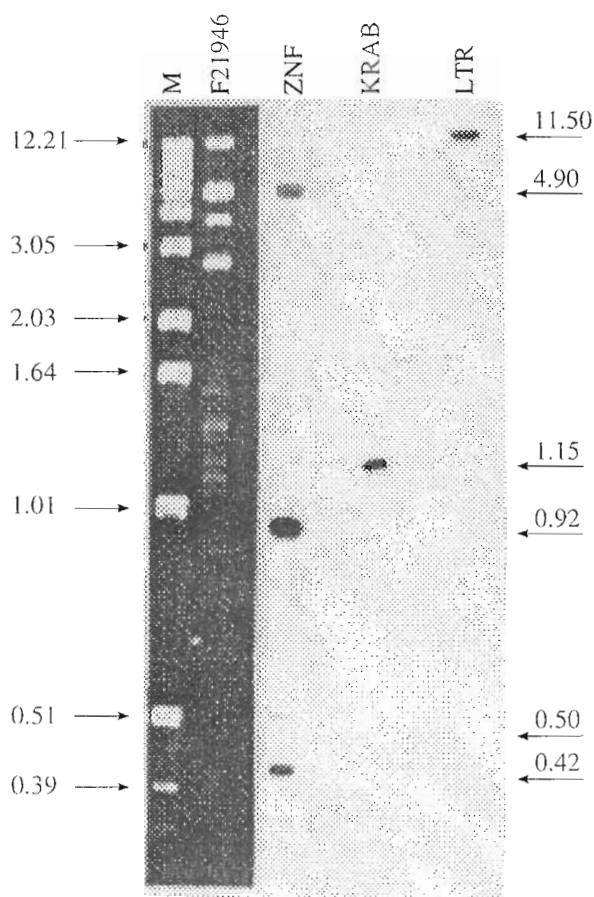


Рис. 2. Саузерн-блот-гибридицизация. В левой части рисунка приведены результаты разделения в 1% агарозном геле EcoRI-рестриктных фрагментов гидролизованной рекомбинантной космидной ДНК F21946 (дорожка F21946). Дорожка LTR – результаты гибридизации LTR HERV-K-зонда, ZNF – зонда из области, кодирующей Zn-пальцы (ZNF на рис. 1), KRAB – зонда из области KRAB-A гена ZNF91 (KRAB, см. рис. 1 и текст), M – маркер молекулярных масс (1 kb DNA Ladder (Gibco-BRL)). Цифры у стрелок указывают размер соответствующих рестриктных фрагментов (в т.п.о.).

ридицизации ДНК космиды F21946 с кДНК-библиотеками из мозга и трахеи человека (CLONTECH). Первичная структура этой кДНК оказалась практически идентичной структуре tandemных повторов в составе гена *ZNF91*, кодирующих цинковые пальцы (рис. 1). Положение выделенного фрагмента кДНК соответствует координатам 1629–2031 последовательности кДНК гена *ZNF91* (GenBank Accession No. L11672). В результате гибридизации по Саузерну с EcoRI-фрагментами космиды F21946 были выявлены четыре фрагмента длиной 0.42, 0.50, 0.92 и 4.90 т.п.о. (рис. 2). Следовательно, эти фрагменты происходят из области tandemных повторов 5-го экзона. Поэтому в использованных для гибридизации условиях (двукратная отмыка 2 × SSC при 65°C) зонд детекти-

рует практически всю область гена *ZNF91*, кодирующую цинковые пальцы.

На рис. 3 приведена карта расположения EcoRI-рестриктных фрагментов в данной области хромосомы (использован фрагмент карты, составленной в Национальной лаборатории им. Лоуренса (Ливермор, США [9])). Зонд, соответствующий KRAB-домену, гибридизуется с фрагментом длиной 1.15 т.п.о., который расположен в проксимальной к центромере части карты. KRAB-домен находится в N-концевой части белка. Следовательно, соответствующая часть гена направлена в сторону центромеры.

С другой стороны, последовательность ДНК, кодирующая цинковые пальцы в C-концевой части белка, гибридизуется с рядом коротких рестриктных фрагментов и с фрагментом длиной 4.9 т.п.о., которые расположены в части карты, более близкой к теломере короткого плеча хромосомы. Эти данные позволяют ориентировать положение гена *ZNF91* на 19-й хромосоме человека так, что транскрипция гена идет в направлении к теломере (стрелка с подписью "Транскрипция" на рис. 3).

Дополнительный ПЦР-анализ с использованием в качестве матрицы ДНК космиды F21946 и праймеров 5f8for и KRAB-Brevy, соответствующих началу 3-го и концу 4-го экзонов (см. рис. 1 и 3), позволил оценить в 1000 п.о. размер участка гена, который включает в себя оба этих экзона, кодирующих KRAB-A- и KRAB-B-модули KRAB-домена, и разделяющий их инtron. Поскольку длины участков, кодирующих экзоны, известны [5], размер 3-го интрана можно оценить в 800 п.о. Весь рассматриваемый участок гена находится в рестриктном фрагменте длиной 1.15 т.п.о.

Таким образом, рестриктный фрагмент длиной 1.15 т.п.о. содержит целиком 4-й экзон, а 5-й экзон находится во фрагменте длиной 4.9 т.п.о. и примыкающих к нему коротких рестриктных фрагментах. Из этого следует (рис. 3), что область гена *ZNF91*, разделяющая 4-й и 5-й экзоны, находится во фрагментах длиной 2.90, 1.32, 11.50 и 1.51 т.п.о.

Для локализации LTR в данной области использовали блот-гибридизацию по Саузерну. В качестве гибридизационного зонда, гомологичного длинному концевому повтору HERV-K, использовали радиоактивно меченный ПЦР-продукт длиной около 860 п.о., полученный с использованием олигонуклеотидных праймеров, соответствующих 5'- и 3'-концевым областям консенсусной последовательности LTR, и образцов ДНК LTR-содержащих космид. Выбор структуры праймеров подробно описан нами ранее [10]. Зонд представляет собой эквимолярную смесь фрагментов LTR, амплифицированных с помощью праймеров LTRfor и LTRrev (таблица с

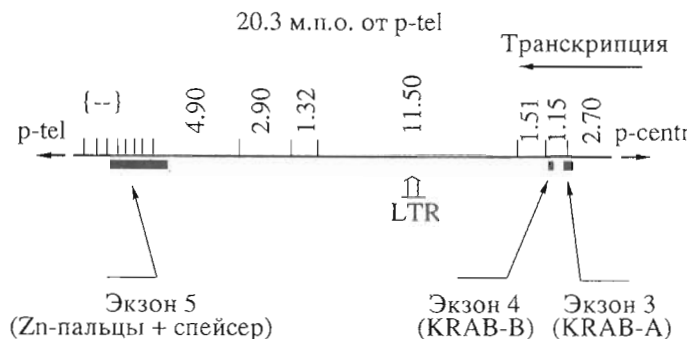


Рис. 3. Фрагмент метрической карты 19-й хромосомы человека [9], соответствующий ДНК рекомбинантной космиды F21946, содержащей часть гена *ZNF91* человека. Вертикальными штрихами обозначено положение EcoRI-рестриктных сайтов, а над картой приведен размер соответствующих рестриктных фрагментов в т.п.о. Символом {—} обозначена группа небольших (менее 1 т.п.о.) рестриктных фрагментов, порядок расположения которых и точный размер не определены. Затемненными прямоугольниками под рестриктной картой отмечено положение соответствующих экзонов гена *ZNF91*. Горизонтальной стрелкой с надписью "Транскрипция" указано направление транскрипции гена *ZNF91*. Светлая стрелка с надписью "LTR" указывает на рестриктный фрагмент, в составе которого находится LTR HERV-K. Ориентация приведенного фрагмента относительно центромеры (p-centr) и теломеры короткого плеча (p-tel) 19-й хромосомы обозначена стрелками с соответствующими подписями.

шести различных областей 19-й хромосомы человека. Таким образом, он является практически полноразмерным LTR HERV-K усредненного для этой структуры нуклеотидного состава. По результатам гибридизации (рис. 2) LTR был локализован внутри рестриктного фрагмента размером 11.50 т.п.о., т.е. в интроне между 4-м и 5-м экзонами (рис. 3).

LTR эндогенных ретровирусов, как отмечалось, способны влиять на регуляцию экспрессии соседних генов, однако их реальная функциональная роль в составе цинома мало изучена. Известны два примера взаимодействия последовательностей эндогенных ретровирусов с *ZNF*-генами: в одном случае участок 5'-нетранслируемой области представлен фрагментом *env*-гена эндогенного ретровируса HERV-H [11], во-втором – LTR эндогенного ретровируса ERV9 выполняет функцию промотора клеточного гена *ZNF80* [12]. Вместе с тем интеграция ретровируса в интронные области клеточных генов может приводить к существенным изменениям в их регуляции.

Предполагают, что интеграция ретровирусных последовательностей может играть эволюционную роль. Например, полноразмерный эндогенный прориц *HERV-K(C4)* был найден в 9-м интроне гена *C4A* и некоторых генов *C4B* человека и высших приматов [13]. Дальнейшие исследования показали, что структурные особенности этого элемента в геномах человека и высших обезьян могут использоваться как эволюционно-диагностический признак, а сама интеграция *HERV-K(C4)* в локус гена, по-видимому, была частью процесса амплификации генов главного комплекса гистосовместимости [14]. Интеграция одиночного ретровирусного LTR в инtron одного из генов, кодирующих цепи миозина, способна

приводить к изменению тканеспецифичности экспрессии гена, как это было показано при изучении инбредных линий мышей [15].

Подобные примеры позволяют предполагать, что обнаруженный нами LTR в интроне регуляторного гена *ZNF91* модулирует специфичность экспрессии гена и связан с эволюцией генов этого семейства.

Проведенный нами ранее сравнительный анализ известных последовательностей LTR HERV-K выявил две группы LTR [10]. Одна из них содержит существенно более дивергировавшие последовательности, тогда как вторая значительно более гомогенна. Было высказано предположение о двух волнах интеграции HERV-K в геном человека [10]. Определение первичной структуры LTR из изучаемого локуса *ZNF91* (рис. 4) позволило отнести данный LTR ко второй, более "молодой" группе последовательностей. Возникновение этой группы можно условно отнести ко времени 10–12 млн. лет назад, что приблизительно соответствует периоду дивергенции гоминид и высших приматов от остальной группы обезьян. Эволюционный анализ структур кДНК семейства генов *ZNF91* показывает консервативность области кДНК, расположенной между KRAB-доменами и первыми tandemными повторами цинковых пальцев для человека, шимпанзе и гориллы [6], но не орангутанга и более низших обезьян. Это означает, что время формирования окончательной структуры 5-го экзона *ZNF91*-гена человека можно отнести ко времени разделения предков орангутанга и других приматов, что примерно соответствует 10–15 млн. лет назад. Таким образом следует отметить приблизительное совпадение времени возникновения современного гена *ZNF91* и LTR эндогенного ретровируса, об-

▼ 1
ATTCTCTGCCTTGAGATTCTGTTAATCTATGA CCAAACCCCCAACCCCGTGCTCTGAAACATGT
GCTGTGTCCACTCAGGGTTAAATGGATTAAGGGCTGTGCAAGATGTGCTTGTAAACAAATGCTTGA
AGGCAGCATGCTCCTTAAGAGTCATCACCACTCCCTAATCTCAAGTACCCAGGGACACAAACACTGCA
GAAGGCCGCAGGGACCTCTGCCTAGGAAAGCCAGGTATTGTCCAAGGTCTCTCCCCTGTGATAGTCT
ГАЛАТАТГГССТСГТГГГААГГГААГАССТГАССГТССССАГССГАСАССАТАААГГГТСТГТГ
CTGAGGAGGATTAGTATAAGAGGAAGGCCTCTTGAGGATAAGAGGAAGGCATCTGCTCCTGC
CCGTCCCTGGCAATGGAATCTCGTATAAAACCGATTGTATGCTCCATCTACTGAGATAGGAA
AAACCGCCTAGGGCTGGAGGTGGACATGCGGACAGCAATACTGC TTTCTAAAGCATTGGATATT
▼ 2
TATATG TATGCGTGTCTAAGGCGCAGCACTTAATTCTTACCTTGTCTGTGCTGCAGAGACCTTGT
TCACCTGTTATCTGCTGACCCCTCTCCACTATTATCCTATGACCATCCCCCTTCCGAG
AAACACCCAAGGATGATCAATAACTAAGGAACTCAGAGGCCGGCG GGATCCTCCGTATGCTGA
AACGCTGGTTCCCCGGG
▼ 3
▼ 4

Рис. 4. Нуклеотидная последовательность фрагмента LTR HERV-K в составе 4-го инtrona гена *ZNF9J* человека. Стрелками с номерами указаны положения “диагностических” делейций, характерных для более “молодых” представителей этого семейства повторяющихся элементов. У представителей подсемейства “старых” LTR в соответствующих положениях находятся консенсусные последовательности: 1 – TTTCCCCAGCAC; 2 – YYTGTAY; 3 – RAGW-GAAACATAATCTGGCYTA; 4 – CCGGYGC. Подчеркнута область “диагностических” точечных замен [10].

наруженногов его инtronе. Данные факты свидетельствуют о вовлеченности ретроэлементов в эволюцию генов семейства *ZNF9J*. Интересно, что время интеграции другого типа ретровируса, ERV9, в локус гена *ZNF80* оценивается в тех же пределах (т.е. 10–15 млн. лет назад) [16].

ЭКСПЕРИМЕНТАЛЬНАЯ ЧАСТЬ

В работе использовали акриламид, бисакриламид (Bio-Rad, США), трис-гидроксиметиламинометан (трис) (Merck, США), этилендиаминетрауксусную кислоту (EDTA, динатриевая соль) (Sigma, США), [α -³²P]dATP (5000 Ки/ммоль) (Обнинск), нейлоновую мембрану Zeta-Probe (Bio-Rad, США), эндонуклеазу рестрикции *EcoRI* (New England Biolabs, США), *Taq*-ДНК-полимеразу (Promega, США).

ПЦР-амплификация производилась в объеме 25–50 мкл в следующих условиях: 1xThermo-буфер (Promega, США) (10 mM трис, pH 9.0; 50 mM KCl; 0.1% Triton X-100), 2 mM MgCl₂, 0.2 mM dNTP (каждый), 0.5 мкМ праймеры, 0.02 ед./мкл *Taq*-полимеразы (Promega, США), 1–10 нг ДНК матрицы. Режимы амплификации: 94°C – 15 с; 60°C – 15 с; 72°C – 20–60 с; 25 циклов на ДНК-термоциклире (Perkin-Elmer, США).

Саузерн-блот-гибридизация. *EcoRI*-гидролизованная ДНК космиды F21946, фракционированная электрофорезом в 1% агарозном геле, бы-

ла перенесена на положительно заряженную мембрану Zeta-Probe в соответствии с рекомендациями производителя. Мечение гибридизационных зондов [α -³²P]dATP производилось с помощью системы для мечения статистической затравкой “Prime-a-Gene” (Promega, США) в соответствии с рекомендациями производителя (для зондов ZNF и LTR) и ПЦР-амплификаций (для зонда KRAB). Мечение путем ПЦР производилось в стандартных условиях, приведенных выше для ПЦР-амплификаций, за исключением того, что реакционная смесь содержала 5 мкМ dTTP, dGTP и dCTP; 0.5 мкМ dATP и 1 мкКи/мкл [α -³²P]dATP. Гибридизация и отмычки производились в соответствии с рекомендациями производителя мембранны. Прочие манипуляции производили по стандартным методикам [17].

Авторы благодарны В.К. Потапову и Н.В. Скапцовой (ИБХ РАН) за синтез олигонуклеотидных праймеров.

Работа выполнена при частичной поддержке ННМИ 75195-544201 и ГНТП “Геном человека” (договор № 58к/96).

СПИСОК ЛИТЕРАТУРЫ

- Lebedev Y.B., Volik S.V., Obradovich D., Ermolaeva O.D., Ashworth L., Lennon G.G., Sverdlov E.D. // Mol. Gen. Genet. 1995. V. 247. P. 742–748.

2. Vinogradova T., Volik S., Lebedev Yu., Shevchenko Yu., Lavrentyeva I., Khil P., Grzeschik K.-H., Ashworth L.K., Sverdlov E.D. // Gene. 1997. In press.
3. Bellefroid E.J., Marine J.-C., Ried T., Lecocq P.J., Riviere M., Amemiya C., Poncelet D.A., Coulie P.G., Jong P., Szipiper C., Ward D.C., Martial J. // EMBO J. 1997. V. 12. P. 1363–1374.
4. Nelson H.C. // Curr. Opin. Genet. Dev. 1995. V. 5. P. 180–189.
5. Crossley P.H., Little P.F.R. // Proc. Natl. Acad. Sci. USA. 1991. V. 88. P. 7923–7927.
6. Bellefroid E.J., Marine J.-C., Matera A.G., Bourguignon C., Desai T., Healy K.C., Bray-Ward P., Martial J., Ihle J.N., Ward D.C. // Proc. Natl. Acad. Sci. USA. 1995. V. 92. P. 10757–10761.
7. Bellefroid E.J., Poncelet D.A., Lecocq P.J., Revelant O., Martial J. // Proc. Natl. Acad. Sci. USA. 1991. V. 88. P. 3608–3612.
8. Pengue G., Calabro V., Cannada Bartoli P., Pagliuca A., Lania L. // Nucl. Acids Res. 1995. V. 22. P. 2908–2914.
9. Ashworth L.K., Batzer M.A., Brandiff B., Branscomb E., de Jong P., Garcia E., Garnes J.A., Gordon L.A., Lamerdin J.E., Lennon G., Mohrenweiser H., Olsen A.S., Slezak T., Carrano A.V. // Nature Genet. 1995. V. 11. P. 422–427.
10. Хиль П.П., Костина М.Б., Ажикина Т.Л., Колесник Т.Б., Лебедев Ю.Б., Свердлов Е.Д. // Биоорганическая химия. 1997. Т. 23. С. 434–440.
11. Baban S., Freeman J.D., Mager D.L. // Genomics. 1996. V. 33. P. 463–472.
12. Di Cristofano A., Strazzullo M., Longo L., Mantia G. // Nucl. Acids Res. 1995. V. 23. P. 2823–2830.
13. Tassabehji M., Strachan T., Anderson M., Campbell R.D., Collier S., Lako M. // Nucl. Acids Res. 1994. V. 22. P. 5211–5217.
14. Dangel A.W., Baker B.J., Mendoza A.R., Yu Y.C. // Immunogenetics. 1995. V. 42. P. 41–52.
15. Seperack P.K., Mercer J.A., Strobel M.C., Copeland N.G., Jenkins N.A. // EMBO J. 1995. V. 14. P. 2326–2332.
16. Di Cristofano A., Strazzullo M., Parisi T., La Mantia G. // Virology. 1995. V. 213. P. 271–275.
17. Sambrook J., Fritsch E.F., Maniatis T. Molecular Cloning. A Laboratory Manual. Cold Spring Harbor: Cold Spring Harbor Laboratory Press, 1989.

The Human Endogenous Virus HERV-K Long Terminal Repeat in an Intron of the ZNF91 Gene

P. P. Khil, Yu. B. Lebedev, and E. D. Sverdlov

Shemyakin-Ovchinnikov Institute of Bioorganic Chemistry, Russian Academy of Sciences,
Miklukho-Maklaya 16/10, GSP-7 Moscow, 117871 Russia

The relative positions of the *ZNF91* gene (exon–intron organization) and the HERV-K human endogenous virus long terminal repeat (LTR), which was earlier found to be located in the *ZNF91* gene locus, on the *Eco*RI restriction metric map of the human chromosome 19 were determined with a high resolution. The direction of the *ZNF91* gene transcription relative to the chromosome 19 telomeres was determined. The HERV-K LTR was localized to the *ZNF91* gene intron 19. The role of retroviral sequences in the evolution of the *ZNF91* gene family is discussed.

Key words: LTR, HERV-K, *ZNF91*, gene mapping, chromosome 19